

8

Referências

- 1 OKUNO, I.; LATHAM, D. R.; HAINES, W. E. *Anal. Chem.* v. 37,n. 1, p. 54 - 57, 1965.
- 2 BATTIS, B. D.; FATHONI, A. Z. *Energ. Fuel*, v. 5, n. 1, p. 2 -21, 1991
- 3 BHAN, O. K.; BRINKMAN, D. W; GREEN, J. B.; CARLEY, B. *Fuels*, v. 66, n. 9, p. 1200 -1214, 1987
- 4 FRANKENFELD, J.W.; TAYLOR, W. F.; BRINKMAN, D.W. *Ind. Eng. Chem. Prod. Res. Dev*, v. 22, n. 4, p. 615 – 621, 1983.
- 5 COONEY, J. V.; BEAL, E. J.; HAZLETT, R. N. *Ind. Eng. Chem. Prod. Res. Dev*, v. 24, n. 2, p. 294, 1985.
- 6 BEAVER, B. D; COONEY, J. V.; WATKINS, J. M. *J. Heter. Chem.*, v. 23, n. 4, p. 1095, 1986.
- 7 DAHLIN, K. E.; DANIEL, S. R.; WORSTELL, J. H. *Fuel*, v. 60, p. 477, 1981.
- 8 SILVA, R. M. C. F.; GOMES, H. O.; ROCHA, M. I.; DIAS, F. *Estudo do efeito do HDT e da composição do óleo diesel na estabilidade, V Seminário de Óleo Diesel da PETROBRAS, 2002.*
- 9 OFFENHAUER, R. D., BRENNAN, J. A., MILLER, R. C. *Ind. Eng. Chem*, v. 49, p. 1265, 1957.
- 10 PEDLEY, J. F., HILEY, R. W., HANCOCK, R. A. *Fuel*, v. 66, p. 1646, 1987.
- 11 PEDLEY, J. F., HILEY, R. W., HANCOCK, R. A. *Fuel*, v. 67, n. 8, p. 1124, 1988.
- 12 MOORE, R. T.; MCCUTCHAN, P.; YOUNG, D. A. *Anal. Chem.*, v. 23, n. 11, p. 1639-1641, 1951.
- 13 SNYDER, L. R.; BUELL, B. E. *Anal. Chem.*, v. 34, n. 6, p. 689-691, 1962.
- 14 OLIVEIRA, E. C.; DE CAMPOS, M. C. V.; LOPES, A. S.; VALE, M. G. R.; et. all.. *J. Chromatogr. A*, v. 1027, n. 1-2, p. 171, 2004.
- 15 DORBON, M.; BERNASCONI, C. *Fuel*, v. 68, p. 1067 , 1989.
- 16 LAREDO, G. C.; LEYVA, S.; ALVAREZ, R.; MARES, M. T.; CASTILLO, J.; CANO, J. L. *Fuel*, v. 81, p. 1341, 2002.
- 17 CHAWLA, B. *J. Chromatogr. Sci.*, v. 35, n. 3, p. 97, 1997.

- 18 OKUMURA, L. L.; STRADOTTO, N. R. *Talanta*, v. 72, p. 1106 – 1113, 2007.
- 19 VO-DINH, T. *Room Temperature Phosphorimetry for Chemical Analysis*, Chemical Analysis series Vol 68, Jonh Wiley & Sons,1984.
- 20 ABBOTT, D. W., VO-DINH, T. *Anal. Chem.* v. 57, p. 41, 1985.
- 21 SUE, F. F.; YEN, T. F. *Anal. Chem.* v. 54, p. 1642, 1982.
- 22 CITTA, L. A.; HURTUBISE, R. J. *Talanta*, v. 39, p. 1065, 1992.
- 23 PERRY, L. M.; CAMPIGLIA, A. D.; WINEFORDNER, J. D.. *Anal. Chem.*, v. 61, p. 2328, 1989.
- 24 GIOIA, S. M. C.; CAMPIGLIA, A. D. *Anal. Chim. Acta*, v. 287, p. 8, 1994
- 25 HURTUBISE, R., *Phosphorimetry: Theory, Instrumentation, and applications*. VCH Publishers: New York, 1990.
- 26 VO-DINH, T. *Room Temperature Phosphorimetry for Chemical Analysis*, Chemical Analysis series Vol 68, Jonh Wiley & Sons,1984.
- 27 JABLONSKI, A. Z. *Physik*, v. 94, p. 38, 1935.
- 28 SKLAR, J. *J. Chem Phys*, v.5, p. 699, 1937.
- 29 LEWIS, G. N.; KASHA, M. J.. *J. Am. Chem. Soc.*, v. 66, p. 2100, 1944.
- 30 MCCLURE, D. *J. Chem. Phys*, v.17, p. 905, 1949.
- 31 EVANS, D. F. *Nature*, v.176, p. 777, 1955.
- 32 KIERS, R. J.; BRITT, R. D. ; WENTWORTH, W. E.. *Anal. Chem*, v. 29, p. 202, 1957.
- 33 FREED, S. e SALMRE, W.. *Sci.*, v. 128, p. 1341, 1958.
- 34 PARKER, C. A.; HATCHARD, C. G. *Analyst*, v. 87, p. 664, 1962.
- 35 WINEFORDNER, J. D.; LATZ, H. W. *Anal Chem*, v. 35, p. 1517, 1963.
- 36 HARRIS, D. C.; *Análise Química Quantitativa*. Rio de Janeiro: Livros Técnicos e Científicos, 5^a ed, 2001.
- 37 ROTH, M. *J. Chromatogr.*, v. 30, p. 219, 1967.
- 38 SCHULMAN, E. M.; WALLING, C. *Sci.*, v. 178, p. 53, 1972
- 39 SCHULMAN, E. M.; WALLING, C. *J. Phys.Chem.*, v. 77, p. 902, 1973.
- 40 ARRUDA A. F. E CAMPIGLIA A. D. *Analyst*, v.122, p. 559 – 562, 1997.
- 41 McALEESE, D. L. e DUNLAP, R. B. *Anal. Chem.*, v. 56, p. 600, 1984.
- 42 KASHA, M. *J. Chem. Phys*, v. 20, p. 71, 1952.

- 43 CAMPÍGLIA, A. D. e DE LIMA, G. C. *Ibid.*, v. 59, p. 2822, 1987.
- 44 CARDOSO, C. E. MARTINS., *Utilização da fosforimetria na temperatura ambiente suportada em substrato sólido para a determinação seletiva de compostos policíclicos aromáticos nitrogenados e sulfurados em gasolina e em sedimento*, Dep. de Química, PUC-RJ, fev. 2007.
- 45 HURTUBISE, R. J. *Anal. Chim. Acta*, v. 351, p. 1, 1997.
- 47 MCGLYNN, S. P.; SUNSERI, R.; CHRISTODOULEAS, N. J. *J. Chem. Phys*, v. 37, p. 1818, 1962
- 48 GIACHINO, G.G.; KEARNS, D. R. *J. Chem. Phys*, v. 54, p. 3248, 1971.
- 49 WHITE, W. e SEYBOLD, P. G. *Anal. Chem.*, v. 47 (7), p. 1199, 1975.
- 50 CUNHA, A. L. M. C., *Desenvolvimento e validação de método em substrato sólido de celulose para a determinação de pireno e criseno*, Dep. de Química, PUC-RJ, março 2007.
- 51 VO-DINH, T. LUE-YEN, E. e WINEFORDNER, J. D. *Talanta*, v. 24, p. 146, 1977.
- 52 WHITE, W. e SEYBOLD, P. G. *J. Phys. Chem.*, v. 81, p. 2035, 1977.
- 53 VO-DINH, T., YEN, E. L. e WINEFORDNER, J. D. *Anal. Chem*, v. 48 (8), p. 1186, 1976.
- 54 NAVA, I. S. *Determinação seletiva de fluoroquinolonas por fosforimetria na temperatura ambiente suportada em substrato de celulose com nitrato de tório*. Dep. de química, PUC-RJ, fev. 2007.
- 55 ARRUDA, A. F., AUCÉLIO, R. Q. *Anal. Sci.*, v.18, p. 831, 2002
- 56 DE LIMA, C.G., ANDINO, M.M., WINEFORDNER, J.D. *Anal. Chem.*, v. 58 (3), p. 2869, 1986.
- 57 RODRIGUEZ, J. J. S., GARCIA J. H., FERRERA, Z. S. e LÁZARO, B. M. *Anal. Letters*, v.28, p. 2413, 1995.
- 58 *Operating and Service Manual – Model 303A – Static Mercury Drop Electrode*. EG&G Princeton applied Research: Estados Unidos, p. II- 3, 1984.
- 59 STEPAN, R.; BAREK, J.; MEJSTRIK, V.; ZIMA. *J. Sensors*, v. 3, p. 44, 2003.
- 60 LUEYEN-BOWER, E. , WARD, J. L, WALDEN, G. e WINEFORDNER, J.D. *Talanta*, v. 27, p. 380-382, 1979
- 61 MEYERS, M. L., SEYBOLD, P.G. *Anal. Chem*, v. 51, p. 1609, 1979.
- 62 RODRIGUEZ, J. J. S., GARCIA, J. H., FERRERA, Z. S.,LAZARO, A. J. B. M. *Anal. Let.*, 28, 13, 2413, 1995

- 63 ABNT NBR ISO/IEC 17025:2005. Requisitos Gerais para Competência de Laboratórios de ensaio e Calibração.
- 64 INMETRO, DOQ – CGCRE – 008; *Orientações sobre validação de métodos de ensaios químicos*, Rev.02, junho. 2007
- 65 CITAC/EURACHEM, *Guide to Quality in Analytical Chemistry*, 2002
- 66 GONZÁLEZ, A. G., HERRADOR, M. Á. *Trends in Anal. Chem.*, 26, 3, 2007
- 67 THOMPSON, M. et al. *Harmonized guidelines fot single-laboratory validation of methods of analysis*, IUPAC, Pure and Applied Chemistry, 74, 835, 2002.
- 68 BARROS, C. B. *Validação de métodos analíticos, Biológico*, 24, 2, 175, 2002.
- 69 THOMPSOM, M.; ELLISON, S. L.R.; FAJGELY, A.; Willets, P.; et. al. *Pure Appl. Chem.* 71, 2, 337, 1999.
- 70 BURNS, D. T.; DANZER, K.; TOWNSHEND, A. *Pure Appl. Chem.*, 74, 11, 2001, 2002.
- 71 BRITO, N. M.; JUNIOR, O. P. A.; POLESE, L., et. al. *Avaliação da exatidão e da precisão de métodos de análise de resíduos de pesticidas mediante ensaios de recuperação, Pesticidas: R. Ecotoxicol. E Meio Ambiente*, 12, 155, 2002.
- 72 GARP, *Associação grupo de analistas de resíduos de pesticidas; Manual de resíduos de pesticidas em alimentos*, 1999.
- 73 CITAC/EURACHEM, *Guide to Quality in Analytical Chemistry*, 2002.
- 74 CITAC/EURACHEM, *Determinando a incerteza na medição analítica*; 1^a. ed. Brasileira, 2002.
- 75 AOAC International – *Peer verified method program – manual on policies and procedures*, 1998.
- 76 *Guia para a expressão da incerteza de medição* – 2^a edição brasileira – ABNT, INMETRO, SBM - Brasil, 1998.
- 77 FREITAS, S. M., *Metodologia estatística para validação de métodos analíticos aplicável à metrologia em química*, Dep. de Metrologia, PUC-RJ, 2003.
- 78 NORONHA, J. L. *Procedimento de cálculos de incerteza de medição em medições diretas e indiretas*. Dep. de Eng. de Prod., Escola Federal de engenharia de Itajubá - EFEI

Anexos

- I. Certificado da calibração da vidraria – balão volumétrico de 10 mL.
- II. Certificado da calibração da vidraria – micropipeta 100 - 1000 μ L.
- III. Certificado da calibração da vidraria – micropipeta de 10 μ L.
- IV. Certificado da calibração da balança analítica de 0,01 mg.
- V. Memória de cálculo da repetitividade e reproduzibilidade do 2MI
- VI. Memória de cálculo da repetitividade e reproduzibilidade do 7MI
- VII. Memória de cálculo da incerteza associada à curva analítica, da incerteza combinada e expandida do 2MI
- VIII. Memória de cálculo da incerteza associada à curva analítica, da incerteza combinada e expandida do 7MI
- IX. Memória de cálculo da repetitividade e reproduzibilidade do 2MI após recalcular
- X. Memória de cálculo da repetitividade e reproduzibilidade do 7MI após recalcular
- XI. Memória de cálculo da incerteza associada à curva analítica, da incerteza combinada e expandida do 2MI após recalcular
- XII. Memória de cálculo da incerteza associada à curva analítica, da incerteza combinada e expandida do 7MI após recalcular

Anexo I – Certificado da calibração da vidraria – balão volumétrico 10 mL

 Laboratório de Caracterização de Fluidos Rua Marquês de São Vicente 225 - Gávea Rio de Janeiro, RJ 22453-600	LCF DEP/ PUC-RIO	Tel: (21) 5527-1173 Fax: (21) 5527-1163 e-mail: lcf@mcv.puc-rio.br http://www.mcv.puc-rio.br/prof/pesquisas/regev/html/cert.html				
CERTIFICADO DE CALIBRAÇÃO nº VOL-005/07						
DADOS DO CLIENTE						
Nome: LEEA/Departamento de Química/PUC-Rio Endereço: Rua Marquês de São Vicente 225 - Gávea Rio de Janeiro, RJ 22451-900						
Nº O.S.: 001/07						
Objeto: balão Tipo do objeto: volumétrico Fabricante: - Nº identificação: 5 Código Cliente: - Temp. de referência: 20°C Capacidade nominal: 10 mL Valor da uma divisão: -						
DADOS DA CALIBRAÇÃO						
Método: segundo o Procedimento Interno PR-UEI3 revisão 05, baseado na norma ABNT MB-3119, que consiste em determinar o peso do volume de água desionizada contido ou transferido.						
Dados Ambientais:	Temp.	20,1°C	Unidade	50%	Pressão	762 mmHg
Piômetro:	nº ident.	FS25	nº cert.	VOL-072/06	LCF/DEP/PUC-Rio	
Termômetro:	nº ident.	M150/P000271 - Sensor 01	nº cert.	IT-217-5000	ITI	
Balança 1:	nº ident.	0241111830017	nº cert.	DIAD 0674/2006	INMETRO	
Balança 2:	nº ident.	-	nº cert.			
Higrômetro:	nº ident.	21815	nº cert.	LTB 1702/03	VISCOMES	
Búrtometro:	nº ident.	0221	nº cert.	DIAD 0162/2005	INMETRO	
RESULTADOS OBTIDOS						
volume nominal (mL)	volume a 20°C (mL)	<i>U</i> (mL)	<i>k</i>			
10	10.002	0.003	2.18			
O represente a incerteza expandida, e k é fator de segurança.						
Data da calibração: 09/01/07 Data da emissão: 18/01/07						
 Assinatura Autorizada: Paulo Roberto de Souza Mendes Gerente Técnico						
OBS: • Original nº 01 cópia. • Este certificado atende aos requisitos de acreditação do Oficinômetro, que avalia a competência de medição do laboratório e compromete sua referibilidade a padrões nacionais de medida. • Estes resultados se referem exclusivamente ao objeto descrito acima sob as condições especificadas, não sendo extensivos a qualquer outra. • Não é permitida sua reprodução parcial. • A incerteza expandida referida corresponde a um nível de confiança de aproximadamente 95%.						
Folha nº 1/1						

Anexo II – Certificado da calibração da vidraria – micropipeta 100 – 1000 µL

 Laboratório de Caracterização de Fluidos Rua Marquês de São Vicente 225 - Gávea Rio de Janeiro, RJ 22451-900 DEMPUC-RIO	LCF Tel: (21) 3327-1173 Fax: (21) 3327-1165 e-mail: lcf@puc-rio.br http://www.puc-rio.br/prof/pmcnmea/pagcalimrcf.html																				
CERTIFICADO DE CALIBRAÇÃO nº MVO-003/07																					
DADOS DO CLIENTE																					
CAL 0108 Nome: LEEA/Departamento de Química/PUC-Rio Endereço: Rua Marquês de São Vicente 225 - Gávea Rio de Janeiro, RJ 22451-900 N° O.S.: 001/07																					
Objeto: micropipeta Tipo do objeto: deslocamento de ar Fabricante: Hirschmann N° identificação: 4061797 Código Cliente: Temp. de referência: 20°C Capacidade nominal: 1000 µL Valor uma divisão: 5 µL Fabricante das pontas/varetas: não informado Modo de pipeteagem: normal																					
DADOS DA CALIBRAÇÃO																					
Método: Segundo o Procedimento Interno PR-006 revisão 03, baseado na norma ISO 8655, que consiste em determinar o peso do volume de água desionizada comum ou transferido.																					
Dados Amostrais: Temp. 20,2°C Unidade g/m³ Pressão 764 mmHg Pitômetro: n° Ident. 528 n° cert. VOL 832/06 INMETRO Termômetro: n° Ident. TD520001816 - Sustent 02 n° cert. 31-07-4/05 INMETRO Balança 1: n° Ident. 112220HSR n° cert. INMETRO Balança 2: n° Ident. 0244118300117 n° cert. INMETRO Hidrômetro: n° Ident. 21015 n° cert. INMETRO Barômetro: n° Ident. 0221 n° cert. INMETRO																					
RESULTADOS OBTIDOS																					
<table style="width: 100%; border-collapse: collapse;"> <thead> <tr> <th style="text-align: left;">volume</th> <th style="text-align: left;">volume</th> <th style="text-align: left;">U</th> <th style="text-align: left;">k</th> </tr> <tr> <th style="text-align: left;">nominal</th> <th style="text-align: left;">a 20°C</th> <th style="text-align: left;">(µL)</th> <th style="text-align: left;">(µL)</th> </tr> </thead> <tbody> <tr> <td style="text-align: left;">100</td> <td style="text-align: left;">101,7</td> <td style="text-align: left;">0,2</td> <td style="text-align: left;">2,32</td> </tr> <tr> <td style="text-align: left;">500</td> <td style="text-align: left;">504</td> <td style="text-align: left;">1</td> <td style="text-align: left;">2,32</td> </tr> <tr> <td style="text-align: left;">1000</td> <td style="text-align: left;">1006</td> <td style="text-align: left;">1</td> <td style="text-align: left;">2,32</td> </tr> </tbody> </table> <p style="text-align: center;"><i>O resultado é o resultado separado, e o valor de desejabilidade.</i></p>		volume	volume	U	k	nominal	a 20°C	(µL)	(µL)	100	101,7	0,2	2,32	500	504	1	2,32	1000	1006	1	2,32
volume	volume	U	k																		
nominal	a 20°C	(µL)	(µL)																		
100	101,7	0,2	2,32																		
500	504	1	2,32																		
1000	1006	1	2,32																		
Data da calibração: 16/01/07 Data de emissão: 16/01/07																					
 Assinatura Autorizada: Paulo Roberto de Souza Mendes Gerente Técnico																					
<small>CRÉDITO: © 01 cópia. • Este certificado atende aos requisitos de acreditação do Ccre/Inmetro, que avalia a competência de medição do laboratório e comprova sua retraceabilidade a padrões nacionais de medida. • Estes resultados se referem exclusivamente ao objeto descrito acima sob as condições especificadas, não sendo extensivos a qualquer outro. • Não é permitida sua reprodução parcial. • A incerteza expandida relatada corresponde a um nível de confiança de aproximadamente 95%.</small>																					
Folha nº 1/1																					

Anexo III – Certificado da calibração da vidraria – micropipeta 10 µL

 Laboratório de Caracterização de Fluidos Rua Marquês de São Vicente 225 - Gávea Rio de Janeiro, RJ 22451-900 DEMPUC-RJ	 LCF Tel: (21) 3527-1175 Fax: (21) 3527-1165 e-mail: lcf@mc.puc-rio.br http://www.mc.puc-rio.br/mc/pmc/paginamcf.htm																																																	
CERTIFICADO DE CALIBRAÇÃO nº MVO-001/07																																																		
DADOS DO CLIENTE																																																		
Nome: LEEA/Departamento de Química/PUC-Rio Endereço: Rua Marquês de São Vicente 225 - Gávea Rio de Janeiro, RJ 22451-900																																																		
Nº O.S.: 001/07																																																		
Objeto: micropipeta Tipo do objeto: dispositivo de ar Fabricante: Wheaton Nº identificação: 07031569 Código Cliente: Temp. de referência: 20°C Capacidade nominal: 10 µL Valor uma divisão: 0.01 µL Fabricante das ponteiras: não informado Modo de pipetagem: normal																																																		
DADOS DA CALIBRAÇÃO																																																		
Método: Segundo o Procedimento Interno PR-006 revisão 03, baseado na norma ISO 8655, que consiste em determinar o peso do volume de água desejada transferida.																																																		
<table border="1"> <thead> <tr> <th>Deco Ambiente</th> <th>Temp.</th> <th>19.8°C</th> <th>Umidade</th> <th>68%</th> <th>Pressão</th> <th>764 mmHg</th> </tr> </thead> <tbody> <tr> <td>Pleômométrico</td> <td>nº ident.</td> <td>#593</td> <td>nº cert.</td> <td>VCL 073/02</td> <td>LOR/CEM/PUC-RIO</td> <td></td> </tr> <tr> <td>Termômetro:</td> <td>nº ident.</td> <td>TDS20001816 - Sessor 02</td> <td>nº cert.</td> <td>TI-2114/01</td> <td>IPR</td> <td></td> </tr> <tr> <td>Balança 1:</td> <td>nº ident.</td> <td>1122200582</td> <td>nº cert.</td> <td>DNCI 0678/2006</td> <td>INMETRO</td> <td></td> </tr> <tr> <td>Balança 2:</td> <td>nº ident.</td> <td>D26411183-00117</td> <td>nº cert.</td> <td>DNCI 0674/2006</td> <td>INMETRO</td> <td></td> </tr> <tr> <td>Hidrômetro:</td> <td>nº ident.</td> <td>21613</td> <td>nº cert.</td> <td>LTR 112/01/05</td> <td>VISOMES</td> <td></td> </tr> <tr> <td>Berômetro:</td> <td>nº ident.</td> <td>0221</td> <td>nº cert.</td> <td>DNCI 0161/2005</td> <td>INMETRO</td> <td></td> </tr> </tbody> </table>		Deco Ambiente	Temp.	19.8°C	Umidade	68%	Pressão	764 mmHg	Pleômométrico	nº ident.	#593	nº cert.	VCL 073/02	LOR/CEM/PUC-RIO		Termômetro:	nº ident.	TDS20001816 - Sessor 02	nº cert.	TI-2114/01	IPR		Balança 1:	nº ident.	1122200582	nº cert.	DNCI 0678/2006	INMETRO		Balança 2:	nº ident.	D26411183-00117	nº cert.	DNCI 0674/2006	INMETRO		Hidrômetro:	nº ident.	21613	nº cert.	LTR 112/01/05	VISOMES		Berômetro:	nº ident.	0221	nº cert.	DNCI 0161/2005	INMETRO	
Deco Ambiente	Temp.	19.8°C	Umidade	68%	Pressão	764 mmHg																																												
Pleômométrico	nº ident.	#593	nº cert.	VCL 073/02	LOR/CEM/PUC-RIO																																													
Termômetro:	nº ident.	TDS20001816 - Sessor 02	nº cert.	TI-2114/01	IPR																																													
Balança 1:	nº ident.	1122200582	nº cert.	DNCI 0678/2006	INMETRO																																													
Balança 2:	nº ident.	D26411183-00117	nº cert.	DNCI 0674/2006	INMETRO																																													
Hidrômetro:	nº ident.	21613	nº cert.	LTR 112/01/05	VISOMES																																													
Berômetro:	nº ident.	0221	nº cert.	DNCI 0161/2005	INMETRO																																													
RESULTADOS OBTIDOS																																																		
<table border="1"> <thead> <tr> <th>volume nominal (µL)</th> <th>volume a 20°C (µL)</th> <th><i>U</i> (µL)</th> <th><i>k</i></th> </tr> </thead> <tbody> <tr> <td>5</td> <td>5.02</td> <td>0.05</td> <td>2.32</td> </tr> </tbody> </table> <p><i>U</i> representa a incerteza expandida, a 20 nível de confiança.</p>		volume nominal (µL)	volume a 20°C (µL)	<i>U</i> (µL)	<i>k</i>	5	5.02	0.05	2.32																																									
volume nominal (µL)	volume a 20°C (µL)	<i>U</i> (µL)	<i>k</i>																																															
5	5.02	0.05	2.32																																															
Data de calibração: 16/01/07 Data de emissão: 10/01/07																																																		
 Assinatura Autorizada: Paulo Roberto de Souza Mendes Gerente Técnico																																																		
<small> OBS: * Original c/ 0° cópia. * Este certificado atende aos requisitos de acreditação do Cetro/Inmetro, que avalia a competência de medida do laboratório e comprova sua referência a padrões nacionais de medida. * Estes resultados se referem exclusivamente ao objeto descrito acima sob as condições especificadas, não sendo extensivo a qualquer teste. * Não é permitida sua reprodução parcial. * A incerteza expandida relatada corresponde a um nível de confiança de aproximadamente 95%. </small>																																																		

Anexo IV – Certificado da calibração da balança de 0,01 mg – pág.1



CONFIDABILIDADE TOTAL EM CALIBRAÇÃO


CERTIFICADO DE CALIBRAÇÃO
 Empresa Brasileira de Metrologia Ltda.
 (Peso Exato, Indústria e Comércio de Balanças Ltda.)

Cert. nº: 906/2006

Página: 1 de 2

Rede Brasileira de Calibração

Laboratório de Calibração Acreditado pelo CGCCE/INMETRO sob N° 301

**1. IDENTIFICAÇÃO DO CLIENTE**

Cliente: Pontifício Universidade Católica - PUC
 Endereço: Rua Marquês de São Vicente, nº 225
 Gávea - RJ - 22151-900

2. CONDIÇÕES AMBIENTAIS

Temperatura Ambiental: (°C): 25 ± 5
 Umidade Relativa do Ar (%): 61 ± 10
 Pressão Atmosférica (hPa): 1009 ± 5
 Climatizado: () Não (X) Sim
 Estável: () Não (X) Sim

3. PROCEDIMENTO

Calibração executada através da comparação de pesos-padrão com as indicações do instrumento calibrado, conforme procedimento POT-04-102 (Para balanças mecânicas) e POT-04-103 (Para balanças eletrônicas).

4. OBJETO CALIBRADO

Descrição:	Balança Eletrônica	Fabricante:	Mettler
Nº série:	1116352403	Modelo:	AT261
TAG:	1116352403	Classe:	(I)
Carga min.:	0,0002g	e:	0,001g / 0,001g
Capacidade:	62g / 205g	d:	0,00001g / 0,0001g
Faixa de utilização:	0 a 200g	Data da calibração:	28/03/06
Local:	Labman 576	Segundo a Portaria 236/94, o instrumento encontra-se:	Aprovado

5. PADRÕES UTILIZADOS / RASTREABILIDADES

Padrões	Identificação	Marca	Certificado	Órgão	Validade
Conjunto de Pesos-padrão	PMPF-08	Rico Lake	M-12311/04	KN Weagen	27/05/08

Este certificado atende aos requisitos de acreditação do INMETRO, a qual avaliou a competência do laboratório e comprovou sua rastreabilidade a padrões nacionais de medida.

Rio de Janeiro, 5 de abril de 2006

Signatário Autorizado
 Lucas Marinho
 Técnico Líder

Peso Exato Indústria e Comércio de Balanças Ltda
 Av. Brasil, 18.610 - Coelho Neto - Rio de Janeiro, RJ - Cep: 21350-000 / Tel: (21) 3371-5656
 FAX: (21) 2471-2800 www.pesoexato.com.br metrologia@pesoexato.com.br

Anexo IV – Certificado da calibração da balança de 0,01 mg – pág.2



CONFIDABILIDADE TOTAL EM CALIBRAÇÃO



CERTIFICADO DE CALIBRAÇÃO Empresa Brasileira de Metrologia Ltda. (Peso Exato Indústria e Comércio de Balanças Ltda.)	Cert. n°: 906/2006 Página: 2 de 2
--	--------------------------------------

Rede Brasileira de Calibração

Laboratório de Calibração Acreditado pelo CGCRE/INMETRO sob N° 301

6. RESULTADOS DA CALIBRAÇÃO

VVC do Padrão (g)	Antes do Ajuste (g)	Valor Médio Final* (g)	Ero de Medição (g)	Incerteza Expandida (g)	Fator de Abrangência "k"	Grans de Liberdade Efetivas	Límite de Erro (g) (Port. 236/94)
0,50002	0,50001	0,50001	-0,00001	0,00002	2,00	infinito	0,00100
10,00000	10,00002	10,00001	0,00001	0,00004	2,00	infinito	0,00100
20,00000	20,00019	20,00003	0,00003	0,00005	2,00	infinito	0,00100
49,99986	50,00023	50,00008	0,00022	0,00014	2,00	infinito	0,00100
79,9999	80,0004	83,0001	0,0002	0,0002	2,00	infinito	0,0020
100,0000	100,0000	100,0001	0,0001	0,0003	2,00	infinito	0,0020
120,0000	120,0000	120,0001	0,0001	0,0003	2,00	infinito	0,0020
149,9999	150,0000	150,0002	0,0003	0,0004	2,00	infinito	0,0020
169,9999	170,0000	170,0002	0,0003	0,0004	2,00	infinito	0,0020
199,9999	200,0000	199,9998	-0,0001	0,0005	2,00	infinito	0,0020

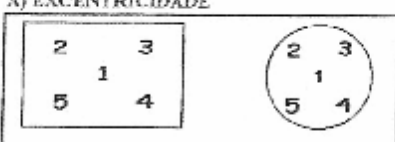
OBS: A incerteza expandida de medição relatada é declarada como a incerteza padrão da medição multiplicada pelo fator de abrangência k^{**} , o qual para uma distribuição t com determinados graus de liberdade efetivos^{***}, corresponde a uma probabilidade de abrangência de aproximadamente 95%.

*Média de 3 medições

**redimensionada na tabela

7. TESTES REALIZADOS

A) EXCENTRICIDADE



(X) Quadrado () Redondo

Indicação	1	50,00013
Média	2	49,99999
	3	49,99999
	4	50,00020
	5	50,00011

8. OBSERVAÇÕES

- a) Este equipamento está em conformidade com os itens 3.5 a 3.7 da portaria 236/94 do INMETRO
- b) As atividades de reparo e ajustes porventura realizados neste instrumento não fazem parte do escopo de serviços acreditados pelo CGCRE/INMETRO.
- c) Este certificado é válido exclusivamente para o equipamento descrito, nas condições especificadas, não sendo extensivo a quaisquer outros, mesmo que similares.
- d) A calibração efetuada não isenta o objeto do controle metroológico estabelecido pela regulamentação metroológica.
- e) Os dados deste certificado estão de acordo com o ISO GUM (2ª edição brasileira) e a publicação EA-4/02:1999.

Rio de Janeiro, 5 de abril de 2006

Signatário Autorizado

Lucas Marinho

Técnico Líder

Peso Exato Indústria e Comércio de Balanças Ltda

Av. Brasil, 18.610 - Coelho Neto - Rio de Janeiro, RJ - Cep: 21350-000 / Tel: (21) 3371-5656
FAX: (21) 2471-2800 www.pesoexato.com.br metrologia@pesoexato.com.br

Anexo V – Memória de cálculo da repetitividade e reproduutibilidade do 2 MI – pág. 1

2Metil Indol na presença de KI					
Reproduutibilidade		repetitividade			
Nº de replicatas	Analista 1 (mol L ⁻¹)	Analista 2 (mol L ⁻¹)	Nº de replicatas	Troca de substrato	Mesmo substrato
1	1,51E-03	1,81E-03	1	1,51E-03	1,56E-03
2	1,82E-03	1,49E-03	2	1,82E-03	1,56E-03
3	1,98E-03	2,17E-03	3	1,98E-03	1,57E-03
4	1,14E-03	1,79E-03	4	1,14E-03	1,57E-03
5	1,80E-03	1,26E-03	5	1,80E-03	1,54E-03
6	1,54E-03	1,98E-03	6	1,54E-03	1,54E-03
7	2,07E-03	1,74E-03	7	2,07E-03	1,48E-03
8	1,36E-03	1,98E-03	8	1,36E-03	1,48E-03
9	1,54E-03	1,54E-03	9	1,54E-03	1,47E-03
10	1,56E-03	1,25E-03	10	1,56E-03	1,45E-03
Media	1,63E-03	1,70E-03	Media	1,63E-03	1,52E-03
Desvpad	2,85E-04	3,13E-04	Desvpad	2,85E-04	4,66E-05
repe = CV(%)	17	18	repe = CV(%)	17	3
s^2_{entre}	6,58E-09		s^2_r	8,94E-08	
s^2_r	8,94E-08		s^2_R	9,60E-08	
s_R (repro), mol L ⁻¹	3,10E-04		s_R (repro), %	18%	
s_R (repro), %	18%				

Anova: fator único

RESUMO

Grupo	Contagem	Soma	Média	Variância
Coluna 1	10	0,016331944	0,001633	8,11E-08
Coluna 2	10	0,017018855	0,001702	9,77E-08

ANOVA

Fonte da variação	SQ	gl	MQ	F	valor-P	F crítico
Entre grupos	2,3592E-08	1	2,36E-08	0,264	0,614	4,414
Dentro dos grupos	1,6095E-06	18	8,94E-08			
Total	1,6331E-06	19				

Base de cálculo:

$$s^2_{entre} = (MQ_{entre} - MQ_{dentro}) / n \quad 6,58E-09$$

$$s^2_r = MQ_{dentro} \quad 8,94E-08 \quad \% \quad 2,99E-04 \quad 17,6 \quad Repe$$

$$s^2_R = (s^2_r + s^2_{entre}) \quad 9,60E-08 \quad 3,1E-04$$

%	18,2	Repro
---	------	-------

Anexo V – Memória de cálculo da repetitividade e reprodutibilidade do 2 MI – pág. 2

2Metil Indol na presença de TiNO₃ e SDS**Reprodutibilidade**

Nº de replicatas	Analista 1 (mol L ⁻¹)	Analista 2 (mol L ⁻¹)
1	2,08E-03	2,13E-03
2	1,36E-03	3,37E-03
3	2,12E-03	2,40E-03
4	1,30E-03	2,46E-03
5	1,98E-03	1,62E-03
6	1,97E-03	1,86E-03
7	1,70E-03	2,33E-03
8	1,89E-03	2,68E-03
9	2,11E-03	1,84E-03
10	1,68E-03	2,48E-03
Media	1,82E-03	2,32E-03
Desvpad	3,00E-04	5,01E-04
repe = CV(%)	16	22
s^2_{entre}	1,06E-07	
s^2_r	1,70E-07	
s^2_R	2,77E-07	
s_R (repro), mol L⁻¹	5,26E-04	
s_R (repro),%	23%	

repetitividade

Nº de replicatas	Troca de substrato	Mesmo substrato
1	2,08E-03	1,63E-03
2	1,36E-03	1,39E-03
3	2,12E-03	1,46E-03
4	1,30E-03	1,49E-03
5	1,98E-03	1,51E-03
6	1,97E-03	1,55E-03
7	1,70E-03	1,56E-03
8	1,89E-03	1,60E-03
9	2,11E-03	1,59E-03
10	1,68E-03	1,59E-03
Media	1,82E-03	1,54E-03
Desvpad	3,00E-04	7,44E-05
repe = CV(%)	16	5
s^2_r	1,70E-07	
s_r (repe), mol L ⁻¹	4,13E-04	
s_r (repe), %	18%	

Anova: fator único

RESUMO

Grupo	Contagem	Soma	Média	Variância
Coluna 1	10	0,018199317	0,00182	8,98E-08
Coluna 2	10	0,023168412	0,002317	2,51E-07

ANOVA

Fonte da variação	SQ	gl	MQ	F	valor-P	F crítico
Entre grupos	1,23E-06	1	1,23E-06	7,245	0,015	4,414
Dentro dos grupos	3,07E-06	18	1,70E-07			
Total	4,30E-06	19				

Base de cálculo:

$$s^2_{entre} = (MQ_{entre} - MQ_{dentro}) / n \quad 1,06E-07$$

$$s^2_r = MQ_{dentro} \quad 1,70E-07 \quad 4,13E-04 \\ \% \quad 17,8$$

$$s^2_R = (s^2_r + s^2_{entre}) \quad 2,77E-07 \quad 5,26E-04$$

% 22,7

Anexo VI – Memória de cálculo da repetitividade e reproduutibilidade do 7MI – pág. 1

7 Metil Indol na presença de KI					
Reprodutibilidade		repetitividade			
N° de replicatas	Analista 1 (mol L ⁻¹)	Analista 2 (mol L ⁻¹)	N° de replicatas	Troca de substrato	Mesmo substrato
1	4,36E-04	3,97E-04	1	4,36E-04	4,67E-04
2	4,28E-04	2,93E-04	2	4,28E-04	4,44E-04
3	4,76E-04	4,29E-04	3	4,76E-04	4,52E-04
4	4,16E-04	4,21E-04	4	4,16E-04	4,54E-04
5	2,83E-04	4,31E-04	5	2,83E-04	4,50E-04
6	4,46E-04	3,73E-04	6	4,46E-04	4,29E-04
7	3,37E-04	4,60E-04	7	3,37E-04	4,25E-04
8	3,52E-04	5,67E-04	8	3,52E-04	4,18E-04
9	4,13E-04	5,36E-04	9	4,13E-04	4,01E-04
10	4,66E-04	3,89E-04	10	4,66E-04	4,10E-04
Media	4,05E-04	4,29E-04	Media	4,05E-04	4,35E-04
Desvpad	6,19E-05	7,88E-05	Desvpad	6,19E-05	2,16E-05
repe = CV(%)	15	18	repe = CV(%)	15	5
s² entre		2,09E-10	s² r		5,02E-09
s² r		5,02E-09	s_r (repe), mol L⁻¹		7,09E-05
s² R		5,23E-09	s_r (repe), %		17%
s_R (repro), mol L⁻¹		7,23E-05			
s_R (repro), %		17%			

Anova: fator único

RESUMO

Grupo	Contagem	Soma	Média	Variância
Coluna 1	10	0,004052987	0,000405	3,83E-09
Coluna 2	10	0,004294994	0,000429	6,21E-09

ANOVA

Fonte da variação	SQ	gl	MQ	F	valor-P	F crítico
Entre grupos	2,92837E-09	1	2,93E-09	0,583	0,455	4,414
Dentro dos grupos	9,04009E-08	18	5,02E-09			
Total	9,33293E-08	19				

Base de cálculo:

$$s_{entre}^2 = (MQ_{entre} - MQ_{dentro}) / n \quad 2,09E-10$$

$$s_r^2 = MQ_{dentro} \quad 5,02E-09 \quad 7,09E-05 \\ \% \quad 16,5$$

$$s_R^2 = (s_r^2 + s_{entre}^2) \quad 5,23E-09 \quad 7,23E-05$$

% **16,8**

Anexo VI – Memória de cálculo da repetitividade e reproduutibilidade do 7MI – pág. 2

7 Metil Indol na presença de TINO3 e SDS
Reprodutibilidade **repetitividade**

Nº de replicatas	Analista 1 (mol L ⁻¹)	Analista 2 (mol L ⁻¹)		Nº de replicatas	Troca de substrato	Mesmo substrato
1	2,39E-04	1,83E-04		1	2,39E-04	2,53E-04
2	2,71E-04	3,04E-04		2	2,71E-04	2,51E-04
3	1,93E-04	2,38E-04		3	1,93E-04	2,22E-04
4	2,26E-04	1,85E-04		4	2,26E-04	2,55E-04
5	2,99E-04	3,11E-04		5	2,99E-04	2,51E-04
6	2,63E-04	2,92E-04		6	2,63E-04	2,41E-04
7	1,52E-04	2,30E-04		7	1,52E-04	2,18E-04
8	2,57E-04	2,13E-04		8	2,57E-04	2,45E-04
9	1,80E-04	1,98E-04		9	1,80E-04	2,17E-04
10	1,81E-04	1,62E-04		10	1,81E-04	2,41E-04
Media	2,26E-04	2,32E-04		Media	2,26E-04	2,39E-04
Desvpad	4,78E-05	5,38E-05		Desvpad	4,78E-05	1,49E-05
repe = CV(%)	21	23		repe = CV(%)	21	6
s_{entre}^2		2,43E-10		s_r^2		2,59E-09
s_r^2		2,59E-09		s_r (repe), mol L⁻¹	5,09E-05	
s_R^2		2,83E-09		s_r (repe), %	22%	
s_R (repro), mol L⁻¹	5,32E-05					
s_R (repro), %	23%					

Anova: fator único

RESUMO

Grupo	Contagem	Soma	Média	Variância
Coluna 1	10	0,002259221	0,000226	2,28517E-09
Coluna 2	10	0,002316618	0,000232	2,89883E-09

ANOVA

Fonte da variação	SQ	gl	MQ	F	valor-P	F crítico
Entre grupos	1,64725E-10	1	1,65E-10	0,064	0,804	4,414
Dentro dos grupos	4,6656E-08	18	2,59E-09			
Total	4,68207E-08	19				

Base de cálculo:

$$s_{entre}^2 = (MQ_{entre} - MQ_{dentro}) / n \quad 2,43E-10$$

$$s_r^2 = MQ_{dentro} \quad 2,59E-09 \quad 5,09E-05 \\ \% \quad 22,0$$

$$s_R^2 = (s_r^2 + s_{entre}^2) \quad 2,83E-09 \quad 5,32E-05 \\ \% \quad 23,0$$

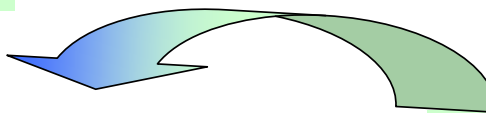
Anexo VII – Memória de cálculo da incerteza associada à curva analítica, da incerteza combinada e expandida do 2MI – pág. 1

Curva Analítica - 2MI + KI - SS RTP

n	Conc. (mol L ⁻¹)	Intensidade de sinal	Intensidade de sinal calc.	Desvio	Desvios ²	C ²
1	0,00E+00	59,47	50,91	8,56	73,21	0,00E+00
2	0,00E+00	47,58	50,91	3,33	11,12	0,00E+00
3	0,00E+00	74,99	50,91	24,08	579,65	0,00E+00
4	4,70E-04	113,69	144,29	30,60	936,35	2,21E-07
5	4,70E-04	139,00	144,29	5,29	27,98	2,21E-07
6	4,70E-04	120,52	144,29	23,77	565,01	2,21E-07
7	7,50E-04	203,02	199,92	3,10	9,62	5,63E-07
8	7,50E-04	240,68	199,92	40,76	1661,54	5,63E-07
9	7,50E-04	156,65	199,92	43,27	1872,12	5,63E-07
10	1,30E-03	259,82	309,19	49,37	2437,16	1,69E-06
11	1,30E-03	325,46	309,19	16,27	264,79	1,69E-06
12	1,30E-03	339,44	309,19	30,25	915,21	1,69E-06
13	1,60E-03	349,29	368,79	19,50	380,22	2,56E-06
14	1,60E-03	360,00	368,79	8,79	77,25	2,56E-06
15	1,60E-03	379,78	368,79	10,99	120,80	2,56E-06
16	1,90E-03	440,00	428,39	11,61	134,77	3,61E-06
17	1,90E-03	436,22	428,39	7,83	61,30	3,61E-06
18	1,90E-03	441,59	428,39	13,20	174,22	3,61E-06
Soma	1,81E-02				10302,31	2,59E-05

n= 18

Cálculos:



Interc.

50,914 a (coef. linear)

Inclinação

198672 b (coef. angular)

Curva analítica de 05/12/2007

y = 198672x + 50,914

R² = 0,9944

Soma desvios²

10302,31

s²

6,44E+02 (Soma desvios²/n-2)

Soma C²

2,59E-05

SomaC

1,81E-02

(SomaC)²

3,26E-04

D

1,41E-04 [Soma C² x (SomaC)²]/n

Incógnitas da curva

s²(a)

1,19E+02 u_a = [s² x Soma C²]/D]

s(a)

10,90

s²(b)

8,24E+07 u_b = (n x s²)/ D

s(b)

9079,91

Razão entre a e b

ra,b

-0,84 [-Soma C / Raiz(n x Soma C²)]

Intensidade de

sinal (%)

83,6 (ra,b x 100)

Coeficientes de sensibilidade

c_i_a

-5,03E-06 (-1/ inclinação)

y_{maior}

441,59

(Intensidade de sinal)

c_i_b

-9,90E-09 [- (cia - interação)/inclinação²]

Incógnita combinada

U_{curva}

5,33E-05 [RAIZ((B46²) * B38 + (B47²) * B39 + 2 * B46 * B47 * E38 * E39 * B42)]

Anexo VII – Memória de cálculo da incerteza associada à curva analítica, da incerteza combinada e expandida do 2MI – pág. 2

ISO GUM

Medição de [2MI] mol L⁻¹ + KI por SS RTP

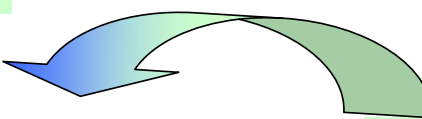
	Unidades		
Mensurando			
SS RTP (conc. 2MI)	131,18	mol L ⁻¹	
Grandezas de entrada			
Mol (1 mol = 131,18 g - 1L)	131,18	g mol ⁻¹	
Volume	1	L	
Fontes de entrada			
Repetitividade (ur)			
Repetição	desvio padrão	2,99E-04	mol L ⁻¹
Reprodutibilidade (uR)			
Analista	desvio entre anal.	3,10E-04	mol L ⁻¹
Soluções (us)			
Balão volumétrico 10 mL (cert.)	Inc. expandida	3,00E-06	L
Micropipeta 20-200 uL (cert.)	Inc. expandida	8,00E-07	L
Micropipeta 5uL (cert.)	Inc. expandida	5,00E-08	L
u Fator diluição (f_{36})		0,21	
Balança (Certificado)	Inc. expandida	2,00E-05	g
Curva analítica			
ucurva	Ucurva	5,33E-05	mol L ⁻¹
Incógnitas das Grandezas de entrada			
ur		2,99E-04	mol L ⁻¹
uR		3,10E-04	mol L ⁻¹
u1s		1,38E-06	L
u2s		3,45E-07	L
u3s		2,16E-08	L
u1-3s		6,51E-07	L
u4s		1,00E-05	g
		8,53E-05	
Coefficientes de sensibilidade			
c_{i_m}		1	L
c_{i_a}		131,18	g mol ⁻¹
Componentes de Incertezas			
ur		2,99E-04	repe
uR		3,10E-04	repro
u1-3s		6,51E-07	volumes
u4s		7,62E-08	balança
u1-4s		6,55E-07	e incertezas
ucurva		5,33E-05	mol L ⁻¹
Incerteza Combinada			
$u_{SS RTP}$ combinada		4,34E-04	mol L ⁻¹
Graus de Liberdade			
v		39	
			Memória
			3,54E-14
			8,88E-16
Coefficiente de abrangência (t-student)			
k		2,02	5% de significância
Incerteza Expandida			
$U_{expandida} = U_{(k=2,01;95\%)}$		8,68E-04	mol L ⁻¹
		3,31E-11	mol 5uL
		4,34E-09	g
		4,3389	ng
			Incerteza da massa deposita (ng) no substrato sólido (alíquota de 5 uL)

Anexo VII – Memória de cálculo da incerteza associada à curva analítica, da incerteza combinada e expandida do 2MI – pág. 3

Curva Analítica - 2MI + TI + SDS - SS RTP

n	Conc. (mol L-1)	Intensidade de sinal	Intensidade de sinal calc.	Desvio	Desvios^2	C^2
1	0,00E+00	66,95	55,83	11,12	123,74	0,00E+00
2	0,00E+00	76,20	55,83	20,37	415,10	0,00E+00
3	0,00E+00	77,87	55,83	22,04	485,94	0,00E+00
4	8,00E-05	81,41	94,27	12,86	165,30	6,40E-09
5	8,00E-05	90,82	94,27	3,45	11,88	6,40E-09
6	8,00E-05	87,66	94,27	6,61	43,65	6,40E-09
7	1,01E-04	105,99	104,36	1,63	2,66	1,02E-08
8	1,01E-04	91,90	104,36	12,46	155,19	1,02E-08
9	1,01E-04	99,35	104,36	5,01	25,08	1,02E-08
10	3,04E-04	272,13	201,90	70,23	4932,02	9,24E-08
11	3,04E-04	170,05	201,90	31,85	1014,53	9,24E-08
12	3,04E-04	239,24	201,90	37,34	1394,15	9,24E-08
13	5,00E-04	319,57	296,08	23,49	551,69	2,50E-07
14	5,00E-04	299,72	296,08	3,64	13,24	2,50E-07
15	5,00E-04	242,96	296,08	53,12	2821,95	2,50E-07
16	6,99E-04	368,30	391,70	23,40	547,74	4,89E-07
17	6,99E-04	377,87	391,70	13,83	191,38	4,89E-07
18	6,99E-04	418,82	391,70	27,12	735,28	4,89E-07
Soma	5,05E-03				13630,52	2,54E-06
					n=	18

Cálculos:



Interc.
Inclinação

55,826 a (coef. linear)
480512 b (coef. angular)

Curva analítica de 17/01/2008
 $y = 480512x + 55,826$
 $R^2 = 0,9958$

Soma desvios^2
 s^2
Soma C^2
SomaC
(SomaC)^2
D

13630,52
8,52E+02 (Soma desvios^2/n-2)
2,54E-06
5,05E-03
2,55E-05
 $2,02E-05 [Soma C^2 x (SomaC)^2]/n$

Incógnitas da curva

$s^2(a)$	$1,07E+02 u_a = [s^2 \times Soma C^2]/D s(a)$	10,34
$s^2(b)$	$7,57E+08 u_b = (n \times s^2)/ D s(b)$	27519,10

Razão entre a e b

ra,b $-0,75 [-Soma C / Raiz(n \times Soma C^2)]$

Intensidade de sinal (%) $74,7 (ra,b \times 100)$

Coeficientes de sensibilidade

c_{ia}	$-2,08E-06 (-1 / \text{inclinação})$	y_{maior}	441,59
c_{ib}	$-1,67E-09 [- (cia - interação) / \text{inclinação}^2]$	(Intensidade de sinal)	

Incógnita combinada

$U_{\text{curva}} 3,32E-05 [\sqrt{(B46^2) * B38 + (B47^2) * B39 + 2 * B46 * B47 * E38 * E39 * B42}]$

Anexo VII – Memória de cálculo da incerteza associada à curva analítica, da incerteza combinada e expandida do 2MI – pág. 4

ISO GUM

Medição de [2MI + TI + SDS] mol L⁻¹ por SSRTP

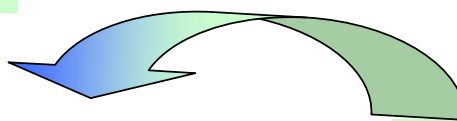
Mensurando	Unidades
SSRTP (conc. 2Ml)	131,18 mol L-1
Grandezas de entrada	
Mol (1 mol =131,18 g - 1L)	131,18 g mol-1
Volume	1 L
Fontes de entrada	
Repetitividade (ur)	40 400
Repetição	desvio padrão 4,13E-04 mol L-1 n 10 troca de substrato+analista
Reprodutibilidade (uR)	
Analista	desvio entre anal. 5,26E-04 mol L-1 n 10
Soluções (us)	
Balão volumétrico 10 mL (cert.)	Inc. expandida 3,00E-06 L k 2,18 p 95%
Micropipeta 20-200 uL (cert.)	Inc. expandida 8,00E-07 L k 2,32 p 95%
Micropipeta 5uL (cert.)	Inc. expandida 5,00E-08 L k 2,32 p
u Fator diluição (f_{36})	0,21
Balança (Certificado)	Inc. expandida 2,00E-05 g k 2 p 95%
Curva analítica	
ucurva	Ucurva 3,32E-05 mol L-1
Incertezas das Grandezas de entrada	
ur	4,13E-04 mol L-1 Dist. Normal
uR	5,26E-04 mol L-1 Dist. Normal
u1s	1,38E-06 L
u2s	3,45E-07 L
u3s	2,16E-08 L
u1-3s	6,51E-07 L
u4s	1,00E-05 g 8,53E-05 Dist. Normal
Coefficientes de sensibilidade	
ci _m	1 L
ci _a	131,18 g mol-1
Componentes de Incertezas	
ur	4,13E-04 repe
uR	5,26E-04 repro
u1-3s	6,51E-07 volumes
u4s	7,62E-08 balança
u1-4s	6,55E-07 ε incertezas
ucurva	3,32E-05 mol L-1
Incerteza Combinada	
uSSRTP _{combinada}	6,70E-04 mol L-1
Graus de Liberdade	
v	62 Memória
	2,01E-13 3,23E-15
Coefficiente de abrangência (t-student)	
k	2,00 5% de significância
Incerteza Expandida	
Uexpandida = U _(k=2,01;95%)	1,34E-03 mol L-1
	5,10E-11 mol 5uL
	6,70E-09 g
	6.6958 no Incerteza da massa deposita (ng) no substrato sólido (áliquota de 5 uL)

Anexo VIII – Memória de cálculo da incerteza associada à curva analítica, da incerteza combinada e expandida do 7MI – pág. 1

Curva Analítica - 7MI + KI- SS RTP

n	Conc. (mol L-1)	Intensidade de sinal	Intensidade de sinal calc.	Desvio	Desvios^2	C^2
1	0,00E+00	35,93	42,01	6,08	36,92	0,00E+00
2	0,00E+00	40,91	42,01	1,10	1,20	0,00E+00
3	0,00E+00	38,42	42,01	3,59	12,86	0,00E+00
4	2,60E-04	146,33	186,02	39,69	1575,50	6,76E-08
5	2,60E-04	190,01	186,02	3,99	15,90	6,76E-08
6	2,60E-04	143,53	186,02	42,49	1805,62	6,76E-08
7	3,10E-04	205,17	213,72	8,55	73,07	9,61E-08
8	3,10E-04	165,35	213,72	48,37	2339,47	9,61E-08
9	3,10E-04	265,47	213,72	51,75	2678,26	9,61E-08
10	4,10E-04	292,07	269,11	22,96	527,20	1,68E-07
11	4,10E-04	262,25	269,11	6,86	47,05	1,68E-07
12	4,10E-04	285,44	269,11	16,33	266,70	1,68E-07
13	5,20E-04	356,10	330,04	26,06	679,17	2,70E-07
14	5,20E-04	300,71	330,04	29,33	860,20	2,70E-07
15	5,20E-04	304,83	330,04	25,21	635,50	2,70E-07
Soma	4,50E-03				11554,62	1,81E-06
					n=	15

Cálculos:



Interc.	42,006 a (coef. linear)	Curva analítica de 17/01/2008
Inclinação	553910 b (coef. angular)	$y = 553910x + 42,006$ $R^2 = 0,9949$

Soma desvios^2	11554,62
s ²	8,89E+02 (Soma desvios^2/n-2)
Soma C^2	1,81E-06
SomaC	4,50E-03
(SomaC)^2	2,03E-05
D	6,85E-06 [Soma C^2 x(SomaC)^2]/n

Incógnitas da curva

s ² (a)	$2,34E+02 u_a = [s^2 \times \text{Soma C}^2]/D$	15,31
s ² (b)	$1,95E+09 u_b = (n \times s^2)/D$	44120,28

Razão entre a e b

ra,b	-0,86 [-Soma C/ Raiz(n x Soma C^2)]
Intensidade de sinal (%)	86,4 (ra,b x 100)

Coeficientes de sensibilidade

ci _a	-1,81E-06 (-1/ inclinação)	y_{maior}
ci _b	-1,30E-09 [- (cia - interação)/inclinação^2]	441,59 (Intensidade de sinal)

Incógnita combinada

$$U_{\text{curva}} = 3,63E-05 [\text{RAIZ}((B46^2) \times B38 + (B47^2) \times B39 + 2 \times B46 \times B47 \times E38 \times E39 \times B42)]$$

Anexo VIII – Memória de cálculo da incerteza associada à curva analítica, da incerteza combinada e expandida do 7MI – pág. 2

ISO GUM

Medição de [7MI]+KI mol L⁻¹ por SS RTP

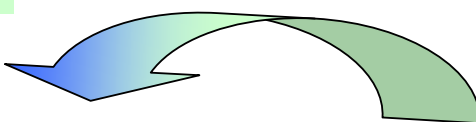
Mensurando		Unidades		
SS RTP (conc. 2MI)		131,18	mol L ⁻¹	
Grandezas de entrada				
Mol (1 mol = 131,18 g - 1L)	131,18		g mol ⁻¹	
Volume	1		L	
Fontes de entrada				
Repetitividade (ur)				40 400
Repetição	desvio padrão	7,09E-05	mol L ⁻¹	n
Reprodutibilidade (uR)				10 troca de substrato+analista
Analista	desvio entre anal.	7,23E-05	mol L ⁻¹	n
Soluções (us)				
Balão volumétrico 10 mL (cert.)	Inc. expandida	3,00E-06	L	k 2,18 p 95%
Micropipeta 20-200 uL (cert.)	Inc. expandida	8,00E-07	L	k 2,32 p 95%
Micropipeta 5uL (cert.)	Inc. expandida	5,00E-08	L	k 2,32 p
u Fator diluição (f_{36})		0,21		
Balança (Certificado)	Inc. expandida	2,00E-05	g	k 2 p 95%
Curva analítica				
ucurva	Ucurva	3,63E-05	mol L ⁻¹	
Incógnitas das Grandezas de entrada				
ur		7,09E-05	mol L ⁻¹	Dist. Normal
uR		7,23E-05	mol L ⁻¹	Dist. Normal
u1s		1,38E-06	L	
u2s		3,45E-07	L	
u3s		2,16E-08	L	
u1-3s		6,51E-07	L	8,53E-05 Dist. Normal
u4s		1,00E-05	g	
Coeficientes de sensibilidade				
c _m		1	L	
c _a		131,18	g mol ⁻¹	
Componentes de Incertezas				
ur		7,09E-05	repe	Gráfico de barras - contribuição das incertezas U comb.
uR		7,23E-05	repro	Repe 7,09E-05
u1-3s		6,51E-07	volumes	Repro 7,23E-05
u4s		7,62E-08	balança	Soluções críticas 6,51E-07
u1-4s		6,55E-07	ε incertezas	Curva analítica 3,63E-05
ucurva		3,63E-05	mol L ⁻¹	uSS RTP _{combinada} 1,08E-04
Incerteza Combinada				
uSS RTP _{combinada}		1,08E-04	mol L ⁻¹	
Graus de Liberdade				
v		47		Memória 1,34E-16 2,80E-18
Coeficiente de abrangência (t-student)				
k		2,01		5% de significância
Incerteza Expandida				
Uexpandida = U _(k=2,01;95%)		2,15E-04	mol L ⁻¹	
		8,20E-12	mol 5uL	
		1,08E-09	g	
		1,0758	ng	Incerteza da massa deposita (ng) no substrato sólido (alíquota de 5 uL)

Anexo VIII – Memória de cálculo da incerteza associada à curva analítica, da incerteza combinada e expandida do 7MI – pág. 3

Curva Analítica - 7MI +TI + SDS - SS RTP

n	Conc. (mol L ⁻¹)	Intensidade de sinal	Intensidade de sinal calc.	Desvio	Desvios ²	C ²
1	0,00E+00	35,93	42,01	6,08	36,92	0,00E+00
2	0,00E+00	40,91	42,01	1,10	1,20	0,00E+00
3	0,00E+00	38,42	42,01	3,59	12,86	0,00E+00
4	2,60E-04	146,33	186,02	39,69	1575,50	6,76E-08
5	2,60E-04	190,01	186,02	3,99	15,90	6,76E-08
6	2,60E-04	143,53	186,02	42,49	1805,62	6,76E-08
7	3,10E-04	205,17	213,72	8,55	73,07	9,61E-08
8	3,10E-04	165,35	213,72	48,37	2339,47	9,61E-08
9	3,10E-04	265,47	213,72	51,75	2678,26	9,61E-08
10	4,10E-04	292,07	269,11	22,96	527,20	1,68E-07
11	4,10E-04	262,25	269,11	6,86	47,05	1,68E-07
12	4,10E-04	285,44	269,11	16,33	266,70	1,68E-07
13	5,20E-04	356,10	330,04	26,06	679,17	2,70E-07
14	5,20E-04	300,71	330,04	29,33	860,20	2,70E-07
15	5,20E-04	304,83	330,04	25,21	635,50	2,70E-07
Soma	4,50E-03				11554,62	1,81E-06
					n=	15

Cálculos:



Interc.
Inclinação

42,006 a (coef. linear)
553910 b (coef. angular)

Curva analítica de 17/01/2008
 $y = 553910x + 42,006$
 $R^2 = 0,9949$

Soma desvios²
 s^2
Soma C²
SomaC
(SomaC)²
D

11554,62
8,89E+02 (Soma desvios²/n-2)
1,81E-06
4,50E-03
2,03E-05
6,85E-06 [Soma C² x (SomaC)²]/n

Incógnitas da curva

$s^2(a)$	$2,34E+02 u_a = [s^2 \times \text{Soma C}^2]/D s(a)$	15,31
$s^2(b)$	$1,95E+09 u_b = (n \times s^2)/D s(b)$	44120,28

Razão entre a e b

ra,b
Intensidade de sinal (%)

-0,86 [-Soma C / Raiz(n x Soma C²)]

86,4 (ra,b x 100)

Coeficientes de sensibilidade

c_{ia}	-1,81E-06 (-1/ inclinação)	y_{maior}
c_{ib}	-1,30E-09 [- (cia - interação)/inclinação ²]	(Intensidade de sinal) 441,59

Incógnita combinada

$U_{curva} 3,63E-05 [RAIZ((B46^2)*B38+(B47^2)*B39+2*B46*B47*E38*E39*B42)]$

Anexo VIII – Memória de cálculo da incerteza associada à curva analítica, da incerteza combinada e expandida do 7MI – pág. 4

ISO GUM

Medição de [7MI]+ TI + SDS mol L⁻¹ por SS RTP

		Unidades			
Mensurando					
SS RTP (conc. 2MI)	131,18	mol L ⁻¹			
Grandezas de entrada					
Mol (1 mol = 131,18 g - 1L)	131,18	g mol ⁻¹			
Volume	1	L			
Fontes de entrada			40	400	
Repetitividade (ur)					
Repetição	desvio padrão	5,09E-05	mol L ⁻¹	n	10 troca de substrato+analista
Reprodutibilidade (uR)					
Analista	desvio entre anal.	5,32E-05	mol L ⁻¹	n	10
Soluções (us)					
Balão volumétrico 10 mL (cert.)	Inc. expandida	3,00E-06	L	k	2,18 p 95%
Micropipeta 20-200 μ L (cert.)	Inc. expandida	8,00E-07	L	k	2,32 p 95%
Micropipeta 5 μ L (cert.)	Inc. expandida	5,00E-08	L	k	2,32 p
u Fator diluição (f_{36})		0,21			
Balança (Certificado)	Inc. expandida	2,00E-05	g	k	2 p 95%
Curva analítica					
ucurva	Ucurva	3,63E-05	mol L ⁻¹		
Incógnitas das Grandezas de entrada					
ur		5,09E-05	mol L ⁻¹		Dist. Normal
uR		5,32E-05	mol L ⁻¹		Dist. Normal
u1s		1,38E-06	L		
u2s		3,45E-07	L		
u3s		2,16E-08	L		
u1-3s		6,51E-07	L	8,53E-05	Dist. Normal
u4s		1,00E-05	g		
Coeficientes de sensibilidade					
c _{i_m}		1	L		
c _{i_a}		131,18	g mol ⁻¹		
Componentes de Incertezas					
ur		5,09E-05	repe		
uR		5,32E-05	repro		
u1-3s		6,51E-07	volumes		
u4s		7,62E-08	balança		
u1-4s		6,55E-07	ε incertezas		
ucurva		3,63E-05	mol L ⁻¹		
Incerteza Combinada					
uSS RTP _{combinada}		8,21E-05	mol L ⁻¹		
Graus de Liberdade					
v		60			
				Memória	
				4,55E-17	7,46E-19
Coeficiente de abrangência (t-student)					
k		2,00			
				5% de significância	
Incerteza Expandida					
Uexpandida = U _(k=2,01;95%)		1,64E-04	mol L ⁻¹		
		6,26E-12	mol 5 μ L		
		8,21E-10	g		
		0,8214	ng		
				Incerteza da massa deposita (ng) no substrato sólido (alíquota de 5 μ L)	

Anexo IX – Memória de cálculo da repetitividade e reproduutibilidade do 2 MI – pág. 1

2Metil Indol na presença de KI**Reproduutibilidade**

Nº de replicatas	Analista 1 (mol L ⁻¹)	Analista 2 (mol L ⁻¹)
1	1,51E-03	1,81E-03
2	1,82E-03	1,49E-03
3	1,98E-03	2,17E-03
4	1,14E-03	1,79E-03
5	1,80E-03	1,26E-03
6	1,54E-03	1,98E-03
7	2,07E-03	1,74E-03
8	1,36E-03	1,98E-03
9	1,54E-03	1,54E-03
10	1,56E-03	1,25E-03
Media	1,63E-03	1,70E-03
Desvpad	2,85E-04	3,13E-04
repe = CV(%)	17	18
s^2_{entre}	6,58E-09	
s^2_r	8,94E-08	
s^2_R	9,60E-08	
s_R (repro), mol L⁻¹	8,11E-05	
s_R (repro),%	5%	

repetitividade

Nº de replicatas	Troca de substrato	Mesmo substrato
1	1,51E-03	1,56E-03
2	1,82E-03	1,56E-03
3	1,98E-03	1,57E-03
4	1,14E-03	1,57E-03
5	1,80E-03	1,54E-03
6	1,54E-03	1,54E-03
7	2,07E-03	1,48E-03
8	1,36E-03	1,48E-03
9	1,54E-03	1,47E-03
10	1,56E-03	1,45E-03
Media	1,63E-03	1,52E-03
Desvpad	2,85E-04	4,66E-05
repe = CV(%)	17	3
s^2_r	8,94E-08	
s_r (repe), mol L ⁻¹	2,99E-04	
s_r (repe),%	18%	

Anova: fator único

RESUMO

Grupo	Contagem	Soma	Média	Variância
Coluna 1	10	0,016331944	0,001633	8,11E-08
Coluna 2	10	0,017018855	0,001702	9,77E-08

ANOVA

Fonte da variação	SQ	gl	MQ	F	valor-P	F crítico
Entre grupos	2,35923E-08	1	2,36E-08	0,264	0,614	4,414
Dentro dos grupos	1,6095E-06	18	8,94E-08			
Total	1,6331E-06	19				

Base de cálculo:

$$s^2_{entre} = (MQ_{entre} - MQ_{dentro}) / n$$

$$6,58E-09 \quad 8,11E-05$$

$$\% \quad 5 \quad \text{repro}$$

$$s^2_r = MQ_{dentro}$$

$$8,94E-08 \quad 2,99E-04$$

$$\% \quad 18 \quad \text{repe}$$

$$s^2_R = (s^2_r + s^2_{entre})$$

$$9,60E-08$$

Anexo IX – Memória de cálculo da repetitividade e reproduzibilidade do 2 MI – pág. 2

2Metil Indol na presença de TINO₃ e SDS**Reprodutibilidade****repetitividade**

Nº de replicatas	Analista 1 (mol L ⁻¹)	Analista 2 (mol L ⁻¹)	Nº de replicatas	Troca de substrato	Mesmo substrato
1	2,08E-03	2,13E-03	1	2,08E-03	1,63E-03
2	1,36E-03	3,37E-03	2	1,36E-03	1,39E-03
3	2,12E-03	2,40E-03	3	2,12E-03	1,46E-03
4	1,30E-03	2,46E-03	4	1,30E-03	1,49E-03
5	1,98E-03	1,62E-03	5	1,98E-03	1,51E-03
6	1,97E-03	1,86E-03	6	1,97E-03	1,55E-03
7	1,70E-03	2,33E-03	7	1,70E-03	1,56E-03
8	1,89E-03	2,68E-03	8	1,89E-03	1,60E-03
9	2,11E-03	1,84E-03	9	2,11E-03	1,59E-03
10	1,68E-03	2,48E-03	10	1,68E-03	1,59E-03
Media	1,82E-03	2,32E-03	Media	1,82E-03	1,54E-03
Desvpad	3,00E-04	5,01E-04	Desvpad	3,00E-04	7,44E-05
repe = CV(%)	16	22	repe = CV(%)	16	5
s^2_{entre}	1,06E-07		s^2_r	1,70E-07	
s^2_r		1,70E-07	s_r (repe), mol L ⁻¹	4,13E-04	
s^2_R		2,77E-07	s_r (repe), %	18%	
s_R (repro), mol L⁻¹	3,26E-04				
s_R (repro), %	14%				

Anova: fator único

RESUMO

Grupo	Contagem	Soma	Média	Variância
Coluna 1	10	0,018199317	0,00182	8,98E-08
Coluna 2	10	0,023168412	0,002317	2,51E-07

ANOVA

Fonte da variação	SQ	gl	MQ	F	valor-P	F crítico
Entre grupos	1,23E-06	1	1,23E-06	7,245	0,015	4,414
Dentro dos grupos	3,07E-06	18	1,70E-07			
Total	4,30E-06	19				

Base de cálculo:

$$s^2_{entre} = (MQ_{entre} - MQ_{dentro})/n \quad 1,06E-07 \quad 3,26E-04$$

$$s^2_r = MQ_{dentro} \quad 1,70E-07 \quad 4,13E-04$$

$$s^2_R = (s^2_r + s^2_{entre}) \quad 2,77E-07$$

Anexo X – Memória de cálculo da repetitividade e reproduutibilidade do 7 MI – pág. 1

7 Metil Indol na presença de KI

Reprodutibilidade

N° de replicatas	Analista 1 (mol L ⁻¹)	Analista 2 (mol L ⁻¹)
1	4,36E-04	3,97E-04
2	4,28E-04	2,93E-04
3	4,76E-04	4,29E-04
4	4,16E-04	4,21E-04
5	2,83E-04	4,31E-04
6	4,46E-04	3,73E-04
7	3,37E-04	4,60E-04
8	3,52E-04	5,67E-04
9	4,13E-04	5,36E-04
10	4,66E-04	3,89E-04
Media	4,05E-04	4,29E-04
Desvpad	6,19E-05	7,88E-05
repe = CV(%)	15	18
s^2_{entre}	2,09E-10	
s^2_r	5,02E-09	
s^2_R	5,23E-09	
s_R (repro), mol L⁻¹	1,45E-05	
s_R (repro),%	3%	

repetitividade

N° de replicatas	Troca de substrato	Mesmo substrato
1	4,36E-04	4,67E-04
2	4,28E-04	4,44E-04
3	4,76E-04	4,52E-04
4	4,16E-04	4,54E-04
5	2,83E-04	4,50E-04
6	4,46E-04	4,29E-04
7	3,37E-04	4,25E-04
8	3,52E-04	4,18E-04
9	4,13E-04	4,01E-04
10	4,66E-04	4,10E-04
Media	4,05E-04	4,35E-04
Desvpad	6,19E-05	2,16E-05
repe = CV(%)	15	5
s^2_r	5,02E-09	
s_r (repe), mol L⁻¹	7,09E-05	
s_r (repe),%	17%	

Anova: fator único

RESUMO

Grupo	Contagem	Soma	Média	Variância
Coluna 1	10	0,004052987	0,000405	3,83E-09
Coluna 2	10	0,004294994	0,000429	6,21E-09

ANOVA

Fonte da variação	SQ	gl	MQ	F	valor-P	F crítico
Entre grupos	2,92837E-09	1	2,93E-09	0,583	0,455	4,414
Dentro dos grupos	9,04009E-08	18	5,02E-09			
Total	9,33293E-08	19				

Base de cálculo:

$$s^2_{entre} = (MQ_{entre} - MQ_{dentro})/n$$

$$s^2_r = MQ_{dentro}$$

2,09E-10	1,45E-05
%	3,4
5,02E-09	7,09E-05
%	16,5

$$s^2_R = (s^2_r + s^2_{entre})$$

$$5,23E-09$$

Anexo X – Memória de cálculo da repetitividade e reproduutibilidade do 7 MI – pág. 2

7 Metil Indol na presença de TINO3 e SDS

Reprodutibilidade

repetitividade

Nº de replicatas	Analista 1 (mol L ⁻¹)	Analista 2 (mol L ⁻¹)	Nº de replicatas	Troca de substrato	Mesmo substrato
1	2,39E-04	1,83E-04	1	2,39E-04	2,53E-04
2	2,71E-04	3,04E-04	2	2,71E-04	2,51E-04
3	1,93E-04	2,38E-04	3	1,93E-04	2,22E-04
4	2,26E-04	1,85E-04	4	2,26E-04	2,55E-04
5	2,99E-04	3,11E-04	5	2,99E-04	2,51E-04
6	2,63E-04	2,92E-04	6	2,63E-04	2,41E-04
7	1,52E-04	2,30E-04	7	1,52E-04	2,18E-04
8	2,57E-04	2,13E-04	8	2,57E-04	2,45E-04
9	1,80E-04	1,98E-04	9	1,80E-04	2,17E-04
10	1,81E-04	1,62E-04	10	1,81E-04	2,41E-04
Media	2,26E-04	2,32E-04	Media	2,26E-04	2,39E-04
Desvpad	4,78E-05	5,38E-05	Desvpad	4,78E-05	1,49E-05
repe = CV(%)	21	23	repe = CV(%)	21	6
s^2_{entre}	2,43E-10		s^2_r	2,59E-09	
s^2_r		2,83E-09	s_r (repe), mol L ⁻¹	5,09E-05	
s_R (repro), mol L ⁻¹	1,56E-05		s_r (repe), %	22%	
s_R (repro), %	7%				

Anova: fator único

RESUMO

Grupo	Contagem	Soma	Média	Variância
Coluna 1	10	0,002259221	0,000226	2,28517E-09
Coluna 2	10	0,002316618	0,000232	2,89883E-09

ANOVA

Fonte da variação	SQ	gl	MQ	F	valor-P	F crítico
Entre grupos	1,64725E-10	1	1,65E-10	0,064	0,804	4,414
Dentro dos grupos	4,6656E-08	18	2,59E-09			
Total	4,68207E-08	19				

Base de cálculo:

$$s^2_{entre} = (MQ_{entre} - MQ_{dentro})/n$$

$$2,43E-10 \quad 1,56E-05$$

$$\% \quad 7 \quad \text{repro}$$

$$s^2_r = MQ_{dentro}$$

$$2,59E-09 \quad 5,09E-05$$

$$\% \quad 22,0 \quad \text{repe}$$

$$s^2_R = (s^2_r + s^2_{entre})$$

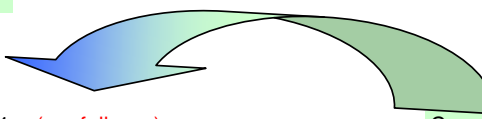
$$2,83E-09$$

Anexo XI – Memória de cálculo da incerteza associada à curva analítica, da incerteza combinada e expandida do 2MI – pág. 1

Curva Analítica - 2MI + KI - SSRTP

n	Conc. (mol L-1)	Intensidade de sinal	Intensidade de sinal calc.	Desvio	Desvios^2	C^2
1	0,00E+00	59,47	50,91	8,56	73,21	0,00E+00
2	0,00E+00	47,58	50,91	3,33	11,12	0,00E+00
3	0,00E+00	74,99	50,91	24,08	579,65	0,00E+00
4	4,70E-04	113,69	144,29	30,60	936,35	2,21E-07
5	4,70E-04	139,00	144,29	5,29	27,98	2,21E-07
6	4,70E-04	120,52	144,29	23,77	565,01	2,21E-07
7	7,50E-04	203,02	199,92	3,10	9,62	5,63E-07
8	7,50E-04	240,68	199,92	40,76	1661,54	5,63E-07
9	7,50E-04	156,65	199,92	43,27	1872,12	5,63E-07
10	1,30E-03	259,82	309,19	49,37	2437,16	1,69E-06
11	1,30E-03	325,46	309,19	16,27	264,79	1,69E-06
12	1,30E-03	339,44	309,19	30,25	915,21	1,69E-06
13	1,60E-03	349,29	368,79	19,50	380,22	2,56E-06
14	1,60E-03	360,00	368,79	8,79	77,25	2,56E-06
15	1,60E-03	379,78	368,79	10,99	120,80	2,56E-06
16	1,90E-03	440,00	428,39	11,61	134,77	3,61E-06
17	1,90E-03	436,22	428,39	7,83	61,30	3,61E-06
18	1,90E-03	441,59	428,39	13,20	174,22	3,61E-06
Soma	1,81E-02				10302,31	2,59E-05
					n=	18

Cálculos:



Interc.

50,914 a (coef. linear)

Inclinação

198672 b (coef. angular)

Curva analítica de 05/12/2007

y = 198672x +50,914

R² = 0,9944

Soma desvios^2

10302,31

s²

6,44E+02 (Soma desvios^2/n-2)

Soma C^2

2,59E-05

SomaC

1,81E-02

(SomaC)^2

3,26E-04

D

1,41E-04 [Soma C^2 x (SomaC)^2]/n

Incertezas da curva

s²(a)

1,19E+02 u_a =[s² x Soma C^2)/D]

s(a) 10,90

s²(b)

8,24E+07 u_b =(n x s²)/ D

s(b) 9079,91

Razão entre a e b

ra,b

-0,84 [-Soma C/ Raiz(n x Soma C^2)]

Intensidade de

sinal (%)

83,6 (ra,b x 100)

Coeficientes de sensibilidade

c_i_a

-5,03E-06 (-/ inclinação)

y_{maior}

441,59

c_i_b

-9,90E-09 [- (cia - interação)/inclinação^2]

(Intensidade de sinal)

Incerteza combinada

U_{curva}

5,33E-05 [RAIZ((B46^2)*B38+(B47^2)*B39+2*B46*B47*E38*E39*B42)]

Anexo XI – Memória de cálculo da incerteza associada à curva analítica, da incerteza combinada e expandida do 2MI – pág. 2

ISO GUM

Medição de [2MI] mol L⁻¹ + KI por SSRTP

		Unidades	
Mensurando			
SS RTP (conc. 2MI)	131,18	mol L-1	
Grandezas de entrada			
Mol (1 mol = 131,18 g - 1L)	131,18	g mol-1	
Volume	1	L	
Fontes de entrada			
Repetitividade (ur)			40 400
Repetição	desvio padrão	2,99E-04 mol L-1	n
Reprodutibilidade (uR)	desvio entre analistas	8,11E-05 mol L-1	n
Analista			10
Soluções (us)			
Balão volumétrico 10 mL (cert.)	Inc. expandida	3,00E-06 L	k
Micropipeta 20-200 µL (cert.)	Inc. expandida	8,00E-07 L	k
Micropipeta 5µL (cert.)	Inc. expandida	5,00E-08 L	k
u Fator diluição (f_{36})		0,21	
Balança (Certificado)	Inc. expandida	2,00E-05 g	k
Curva analítica			2 p 95%
ucurva	Ucurva	5,33E-05 mol L-1	
Incertezas das Grandezas de entrada			
ur	2,99E-04	mol L-1	Dist. Normal
uR	8,11E-05	mol L-1	Dist. Normal
u1s	1,38E-06	L	
u2s	3,45E-07	L	
u3s	2,16E-08	L	
u1-3s	6,51E-07	L	8,53E-05 Dist. Normal
u4s	1,00E-05	g	
Coefficientes de sensibilidade			
ci _m	1	L	
ci _a	131,18	g mol-1	
Componentes de Incertezas			Gráfico de barras - contribuição das incertezas U comb.
ur	2,99E-04	repe	2,99E-04
uR	8,11E-05	repro	8,11E-05
u1-3s	6,51E-07	volumes	6,51E-07
u4s	7,62E-08	balança	5,33E-05
u1-4s	6,55E-07	ε incertezas	3,14E-04
ucurva	5,33E-05	mol L-1	
Incerteza Combinada			
uSS RTP _{combinada}	3,14E-04	mol L-1	% 20
Graus de Liberdade			Memória
v	10		9,77E-15 8,88E-16
Coefficiente de abrangência (t-student)			5% de significância
k	2,23		
Incerteza Expandida			
Uexpandida = U _(k=2,01,95%)	6,29E-04	mol L-1	
	2,40E-11	mol 5µL	
	3,14E-09	g	
	3,1439	ng	Incerteza da massa deposita (ng) no substrato sólido (alíquota de 5 µL)

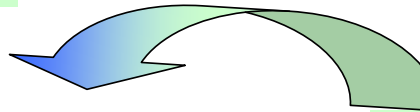
Anexo XI – Memória de cálculo da incerteza associada à curva analítica, da incerteza combinada e expandida do 2MI – pág. 3

Curva Analítica - 2MI + TI + SDS - SSRTP

n	Conc. (mol L-1)	Intensidade de sinal	Intensidade de sinal calc.	Desvio	Desvios^2	C^2
1	0,00E+00	66,95	55,83	11,12	123,74	0,00E+00
2	0,00E+00	76,20	55,83	20,37	415,10	0,00E+00
3	0,00E+00	77,87	55,83	22,04	485,94	0,00E+00
4	8,00E-05	81,41	94,27	12,86	165,30	6,40E-09
5	8,00E-05	90,82	94,27	3,45	11,88	6,40E-09
6	8,00E-05	87,66	94,27	6,61	43,65	6,40E-09
7	1,01E-04	105,99	104,36	1,63	2,66	1,02E-08
8	1,01E-04	91,90	104,36	12,46	155,19	1,02E-08
9	1,01E-04	99,35	104,36	5,01	25,08	1,02E-08
10	3,04E-04	272,13	201,90	70,23	4932,02	9,24E-08
11	3,04E-04	170,05	201,90	31,85	1014,53	9,24E-08
12	3,04E-04	239,24	201,90	37,34	1394,15	9,24E-08
13	5,00E-04	319,57	296,08	23,49	551,69	2,50E-07
14	5,00E-04	299,72	296,08	3,64	13,24	2,50E-07
15	5,00E-04	242,96	296,08	53,12	2821,95	2,50E-07
16	6,99E-04	368,30	391,70	23,40	547,74	4,89E-07
17	6,99E-04	377,87	391,70	13,83	191,38	4,89E-07
18	6,99E-04	418,82	391,70	27,12	735,28	4,89E-07
Soma	5,05E-03				13630,52	2,54E-06

n= 18

Cálculos:



Interc.

55,826 a (coef. linear)

Inclinação

480512 b (coef. angular)

Curva analítica de 17/01/2008

y = 480512x +55,826

R² = 0,9958

Soma desvios^2

13630,52

s²

8,52E+02 (Soma desvios^2/n-2)

Soma C^2

2,54E-06

SomaC

5,05E-03

(SomaC)^2

2,55E-05

D

2,02E-05 [Soma C^2 x (SomaC)^2]/n

Incertezas da curva

s²(a)

1,07E+02 u_a = [s² x Soma C^2]/D s(a)

10,34

s²(b)

7,57E+08 u_b = (n x s²)/ D s(b)

27519,10

Razão entre a e b

ra,b

-0,75 [-Soma C/ Raiz(n x Soma C^2)]

Intensidade de sinal (%)

74,7 (ra,b x 100)

Coeficientes de sensibilidade

y_{maior}

c_i_a

-2,08E-06 (-1/ inclinação)

441,59

c_i_b

-1,67E-09 [- (cia - interação)/inclinação^2]

Incerteza combinada

U_{curva}

3,32E-05 [RAIZ((B46^2)*B38+(B47^2)*B39+2*B46*B47*E38*E39*B42)]

Anexo XI – Memória de cálculo da incerteza associada à curva analítica, da incerteza combinada e expandida do 2MI – pág. 4

ISO GUM

Medição de [2MI + TI + SDS] mol L⁻¹ por SS RTP

		Unidades			
Mensurando					
SS RTP (conc. 2MI)	131,18	mol L ⁻¹			
Grandezas de entrada					
Mol (1 mol = 131,18 g · 1L)	131,18	g mol ⁻¹			
Volume	1	L			
Fontes de entrada			40	400	
Repetitividade (ur)					
Repetição	desvio padrão	4,13E-04 mol L ⁻¹	n	10	troca de substrato+analista
Reprodutibilidade (uR)					
Analista	desvio entre ar	3,26E-04 mol L ⁻¹	n	10	
Soluções (us)					
Balão volumétrico 10 mL (cert.)	Inc. expandida	3,00E-06 L	k	2,18 p	95%
Micropipeta 20-200 µL (cert.)	Inc. expandida	8,00E-07 L	k	2,32 p	95%
Micropipeta 5µL (cert.)	Inc. expandida	5,00E-08 L	k	2,32 p	
u Fator diluição (f_{36})		0,21			
Balança (Certificado)	Inc. expandida	2,00E-05 g	k	2 p	95%
Curva analítica					
ucurva	Ucurva	3,32E-05 mol L ⁻¹			
Incógnitas das Grandezas de entrada					
ur	4,13E-04	mol L ⁻¹			Dist. Normal
uR	3,26E-04	mol L ⁻¹			Dist. Normal
u1s	1,38E-06	L			
u2s	3,45E-07	L			
u3s	2,16E-08	L			
u1-3s	6,51E-07	L	8,53E-05		Dist. Normal
u4s	1,00E-05	g			
Coeficientes de sensibilidade					
c _{i,m}	1	L			
c _{i,a}	131,18	g mol ⁻¹			
Componentes de Incertezas					
ur	4,13E-04 repe				
uR	3,26E-04 repro				
u1-3s	6,51E-07 volumes				
u4s	7,62E-08 balança				
u1-4s	6,55E-07 ε incertezas				
ucurva	3,32E-05	mol L ⁻¹			
Incerteza Combinada					
uSS RTP _{combinada}	5,27E-04	mol L ⁻¹	%	31	
Graus de Liberdade					
v	23		Memória	7,72E-14	3,23E-15
Coeficiente de abrangência (t-student)					
k	2,07		5% de significância		
Incerteza Expandida					
Uexpandida = U _(k=2,01,95%)	1,05E-03	mol L ⁻¹			
	4,02E-11	mol 5µL			
	5,27E-09	g			
	5,2719	ng	Incerteza da massa deposita (ng) no substrato sólido (alíquota de 5 µL)		

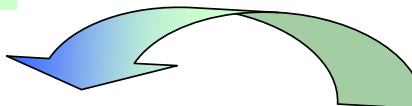
Anexo XII – Memória de cálculo da incerteza associada à curva analítica, da incerteza combinada e expandida do 7MI – pág. 1

Curva Analítica - 7MI + KI- SS RTP

n	Conc. (mol L-1)	Intensidade de sinal	Intensidade de sinal calc.	Desvio	Desvios^2	C^2
1	0,00E+00	35,93	42,01	6,08	36,92	0,00E+00
2	0,00E+00	40,91	42,01	1,10	1,20	0,00E+00
3	0,00E+00	38,42	42,01	3,59	12,86	0,00E+00
4	2,60E-04	146,33	186,02	39,69	1575,50	6,76E-08
5	2,60E-04	190,01	186,02	3,99	15,90	6,76E-08
6	2,60E-04	143,53	186,02	42,49	1805,62	6,76E-08
7	3,10E-04	205,17	213,72	8,55	73,07	9,61E-08
8	3,10E-04	165,35	213,72	48,37	2339,47	9,61E-08
9	3,10E-04	265,47	213,72	51,75	2678,26	9,61E-08
10	4,10E-04	292,07	269,11	22,96	527,20	1,68E-07
11	4,10E-04	262,25	269,11	6,86	47,05	1,68E-07
12	4,10E-04	285,44	269,11	16,33	266,70	1,68E-07
13	5,20E-04	356,10	330,04	26,06	679,17	2,70E-07
14	5,20E-04	300,71	330,04	29,33	860,20	2,70E-07
15	5,20E-04	304,83	330,04	25,21	635,50	2,70E-07
Soma	4,50E-03				11554,62	1,81E-06

n= 15

Cálculos:



Interc.	42,006 a (coef. linear)	Curva analítica de 17/01/2008
Inclinação	553910 b (coef. angular)	$y = 553910x + 42,006$ $R^2 = 0,9949$

Soma desvios^2	11554,62
s ²	8,89E+02 (Soma desvios^2/n-2)
Soma C^2	1,81E-06
SomaC	4,50E-03
(SomaC)^2	2,03E-05
D	6,85E-06 [Soma C^2 x (SomaC)^2]/n

Incertezas da curva

s ² (a)	$2,34E+02 u_a = [s^2 \times Soma C^2]/s(a)$	15,31
s ² (b)	$1,95E+09 u_b = (n \times s^2)/D s(b)$	44120,28

Razão entre a e b

$$ra,b = -0,86 [-Soma C / Raiz(n \times Soma C^2)]$$

$$\text{Intensidade de sinal (\%)} = 86,4 (ra,b \times 100)$$

Coeficientes de sensibilidade

		y_{maior}	
c _a	-1,81E-06 (-/ inclinação)	(Intensidade de sinal)	441,59
c _b	-1,30E-09 [- (cia - interação)/inclinação^2]		

Incerteza combinada

$$U_{\text{curva}} = 3,63E-05 [\text{RAIZ}((B46^2) \times B38 + (B47^2) \times B39 + 2 \times B46 \times B47 \times E38 \times E39 \times B42)]$$

Anexo XII – Memória de cálculo da incerteza associada à curva analítica, da incerteza combinada e expandida do 7MI – pág. 2

ISO GUM

Medição de [7MI]+KI mol L⁻¹ por SS RTP

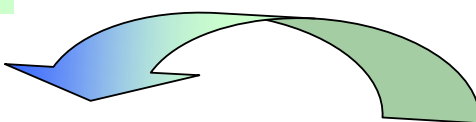
		Unidades				
Mensurando						
SS RTP (conc. 2MI)	131,18		mol L ⁻¹			
Grandezas de entrada						
Mol (1 mol = 131,18 g - 1L)	131,18		g mol ⁻¹			
Volume	1		L			
Fontes de entrada				40	400	
Repetitividade (ur)						
Repetição	desvio padrão	7,09E-05	mol L ⁻¹	n		10 troca de substrato+analista
Reprodutibilidade (uR)						
Analista	desvio entre ar	1,45E-05	mol L ⁻¹	n		10
Soluções (us)						
Balão volumétrico 10 mL (cert.)	Inc. expandida	3,00E-06	L	k	2,18 p	95%
Micropipeta 20-200 μ L (cert.)	Inc. expandida	8,00E-07	L	k	2,32 p	95%
Micropipeta 5 μ L (cert.)	Inc. expandida	5,00E-08	L	k	2,32 p	
u Fator diluição (f_{3s})		0,21				
Balança (Certificado)	Inc. expandida	2,00E-05	g	k	2 p	95%
Curva analítica						
ucurva	Ucurva	3,63E-05	mol L ⁻¹			
Incertezas das Grandezas de entrada						
ur		7,09E-05		mol L ⁻¹		Dist. Normal
uR		1,45E-05		mol L ⁻¹		Dist. Normal
u1s		1,38E-06		L		
u2s		3,45E-07		L		
u3s		2,16E-08		L		
u1-3s		6,51E-07		L	8,53E-05	Dist. Normal
u4s		1,00E-05		g		
Coefficientes de sensibilidade						
c _{1m}		1		L		
c _{ia}		131,18		g mol ⁻¹		
Componentes de Incertezas						
ur		7,09E-05	repe			
uR		1,45E-05	repro			
u1-3s		6,51E-07	volumes			
u4s		7,62E-08	balança			
u1-4s		6,55E-07	ε incertezas			
ucurva		3,63E-05		mol L ⁻¹		
Incerteza Combinada						
uSS RTP _{combinada}		8,09E-05		mol L ⁻¹	%	19
Graus de Liberdade						
v		15			Memória	
					4,29E-17	2,80E-18
Coefficiente de abrangência (t-student)						
k		2,13			5% de significância	
Incerteza Expandida						
Uexpandida = U _{k=2,01,95%}		1,62E-04		mol L ⁻¹		
		6,17E-12		mol 5 μ L		
		8,09E-10		g		
		0,8094		ng		
					Incerteza da massa deposita (ng) no substrato sólido (alíquota de 5 μ L)	

Anexo XII – Memória de cálculo da incerteza associada à curva analítica, da incerteza combinada e expandida do 7MI – pág. 3

Curva Analítica - 7MI +TI + SDS - SS RTP

n	Conc. (mol L ⁻¹)	Intensidade de sinal	Intensidade de sinal calc.	Desvio	Desvios ²	C ²
1	0,00E+00	35,93	42,01	6,08	36,92	0,00E+00
2	0,00E+00	40,91	42,01	1,10	1,20	0,00E+00
3	0,00E+00	38,42	42,01	3,59	12,86	0,00E+00
4	2,60E-04	146,33	186,02	39,69	1575,50	6,76E-08
5	2,60E-04	190,01	186,02	3,99	15,90	6,76E-08
6	2,60E-04	143,53	186,02	42,49	1805,62	6,76E-08
7	3,10E-04	205,17	213,72	8,55	73,07	9,61E-08
8	3,10E-04	165,35	213,72	48,37	2339,47	9,61E-08
9	3,10E-04	265,47	213,72	51,75	2678,26	9,61E-08
10	4,10E-04	292,07	269,11	22,96	527,20	1,68E-07
11	4,10E-04	262,25	269,11	6,86	47,05	1,68E-07
12	4,10E-04	285,44	269,11	16,33	266,70	1,68E-07
13	5,20E-04	356,10	330,04	26,06	679,17	2,70E-07
14	5,20E-04	300,71	330,04	29,33	860,20	2,70E-07
15	5,20E-04	304,83	330,04	25,21	635,50	2,70E-07
Soma	4,50E-03				11554,62	1,81E-06
					n=	15

Cálculos:



Interc.
Inclinação

42,006 a (coef. linear)
553910 b (coef. angular)

Curva analítica de 17/01/2008
 $y = 553910x + 42,006$
 $R^2 = 0,9949$

Soma desvios²
 s^2
Soma C²
SomaC
(SomaC)²
D

11554,62
8,89E+02 (Soma desvios²/n-2)
1,81E-06
4,50E-03
2,03E-05
6,85E-06 [Soma C² x (SomaC)²]/n

Incógnitas da curva

$s^2(a)$	$2,34E+02 u_a = [s^2 \times \text{Soma C}^2]/D s(a)$	15,31
$s^2(b)$	$1,95E+09 u_b = (n \times s^2)/D s(b)$	44120,28

Razão entre a e b

ra,b
Intensidade de sinal (%)

-0,86 [-Soma C / Raiz(n x Soma C²)]

86,4 (ra,b x 100)

Coeficientes de sensibilidade

c_{ia}	-1,81E-06 (-1/ inclinação)	y_{maior}
c_{ib}	-1,30E-09 [- (cia - interação)/inclinação ²]	(Intensidade de sinal) 441,59

Incógnita combinada

$U_{curva} 3,63E-05 [RAIZ((B46^2)*B38+(B47^2)*B39+2*B46*B47*E38*E39*B42)]$

Anexo XII – Memória de cálculo da incerteza associada à curva analítica, da incerteza combinada e expandida do 7MI – pág. 4

ISO GUM

Medição de [7MI]+ TI + SDS mol L⁻¹ por SS RTP

		Unidades			
Mensurando					
SS RTP (conc. 2MI)	131,18	mol L ⁻¹			
Grandezas de entrada					
Mol (1 mol = 131,18 g - 1L)	131,18	g mol ⁻¹			
Volume	1	L			
Fontes de entrada				40	400
Repetitividade (ur)					
Repetição	desvio padrão	5,09E-05	mol L ⁻¹	n	10 troca de substrato+analista
Reprodutibilidade (uR)					
Analista	desvio entre an.	1,56E-05	mol L ⁻¹	n	10
Soluções (us)					
Balão volumétrico 10 mL (cert.)	Inc. expandida	3,00E-06	L	k	2,18 p 95%
Micropipeta 20-200 μ L (cert.)	Inc. expandida	8,00E-07	L	k	2,32 p 95%
Micropipeta 5 μ L (cert.)	Inc. expandida	5,00E-08	L	k	2,32 p
u Fator diluição (f_{36})		0,21			
Balança (Certificado)	Inc. expandida	2,00E-05	g	k	2 p 95%
Curva analítica					
ucurva	Ucurva	3,63E-05	mol L ⁻¹		
Incógnitas das Grandezas de entrada					
ur		5,09E-05	mol L ⁻¹		Dist. Normal
uR		1,56E-05	mol L ⁻¹		Dist. Normal
u1s		1,38E-06	L		
u2s		3,45E-07	L		
u3s		2,16E-08	L		
u1-3s		6,51E-07	L	8,53E-05	Dist. Normal
u4s		1,00E-05	g		
Coefficientes de sensibilidade					
c _{i_m}		1	L		
c _{i_a}		131,18	g mol ⁻¹		
Componentes de Incertezas					
ur		5,09E-05	repe		
uR		1,56E-05	repro		
u1-3s		6,51E-07	volumes		
u4s		7,62E-08	balança		
u1-4s		6,55E-07	ϵ incertezas		
ucurva		3,63E-05	mol L ⁻¹		
Gráfico de barras - contribuição das incertezas U comb.					
Repe			5,09E-05		
Repro			1,56E-05		
Soluções críticas			6,51E-07		
Curva analítica			3,63E-05		
uSS RTP _{combinada}			6,45E-05		
Incerteza Combinada					
uSS RTP _{combinada}	6,45E-05	mol L ⁻¹	%	28	
Graus de Liberdade					
v	23			Memória	
				1,73E-17	7,46E-19
Coefficiente de abrangência (t-student)					
k	2,07			5% de significância	
Incerteza Expandida					
Uexpandida = U _(k=2,01;95%)	1,29E-04	mol L ⁻¹			
	4,91E-12	mol 5 μ L			
	6,45E-10	g			
	0,6446	ng			
				Incerteza da massa deposita (ng) no substrato sólido (alíquota de 5 μ L)	